



1/12
H.H. CHEN, ET AL
YOR9-1999-0420

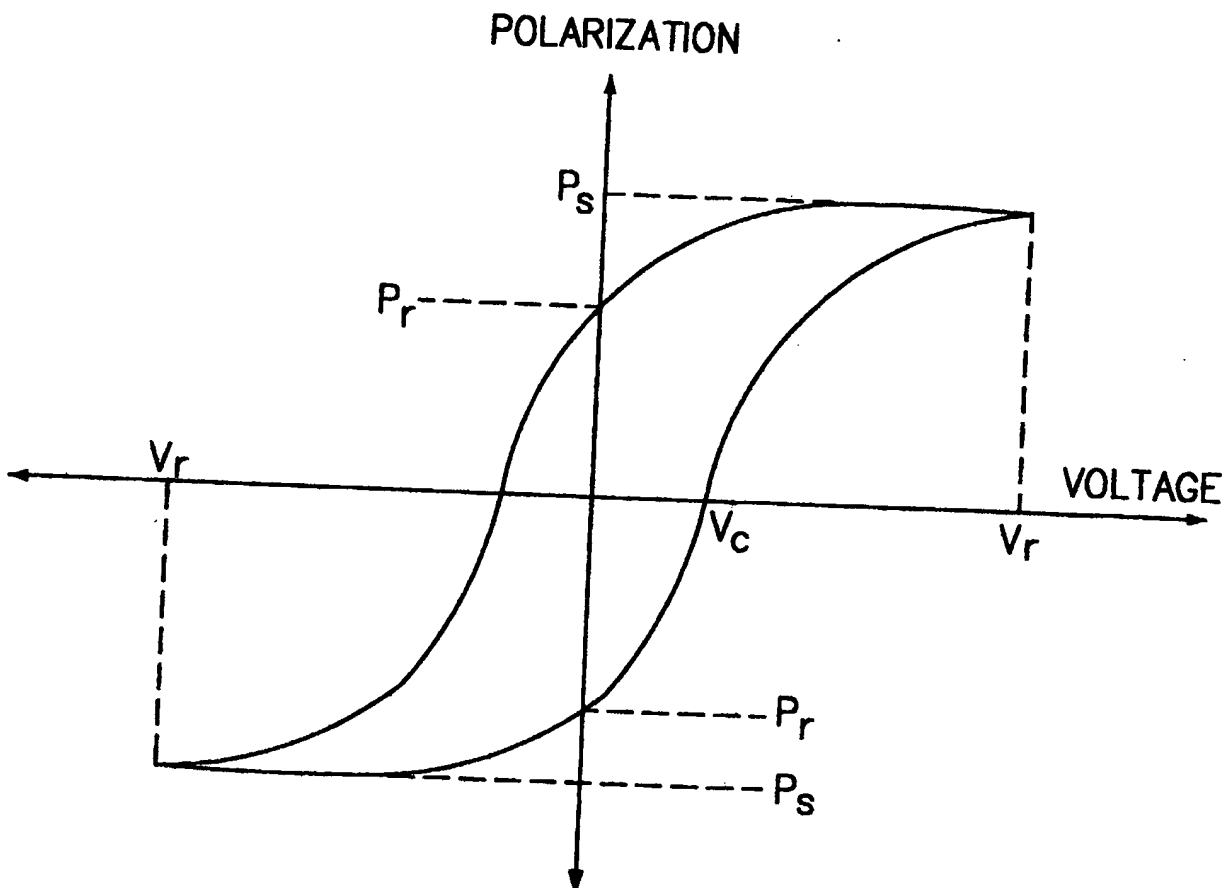


FIG.1

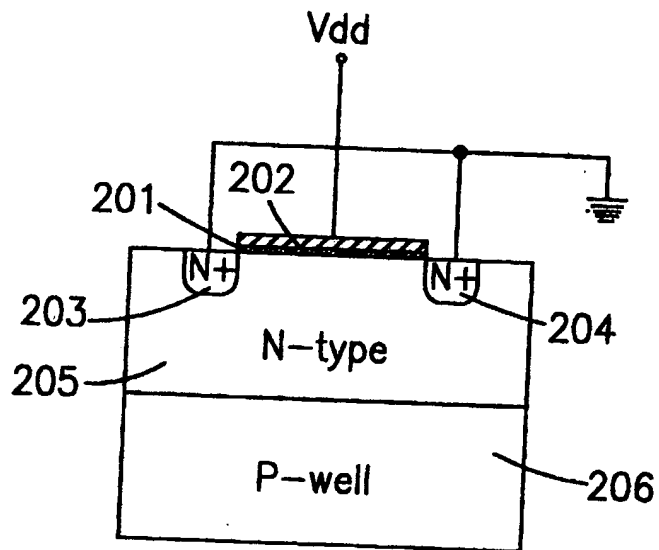


FIG. 2A
PRIOR ART

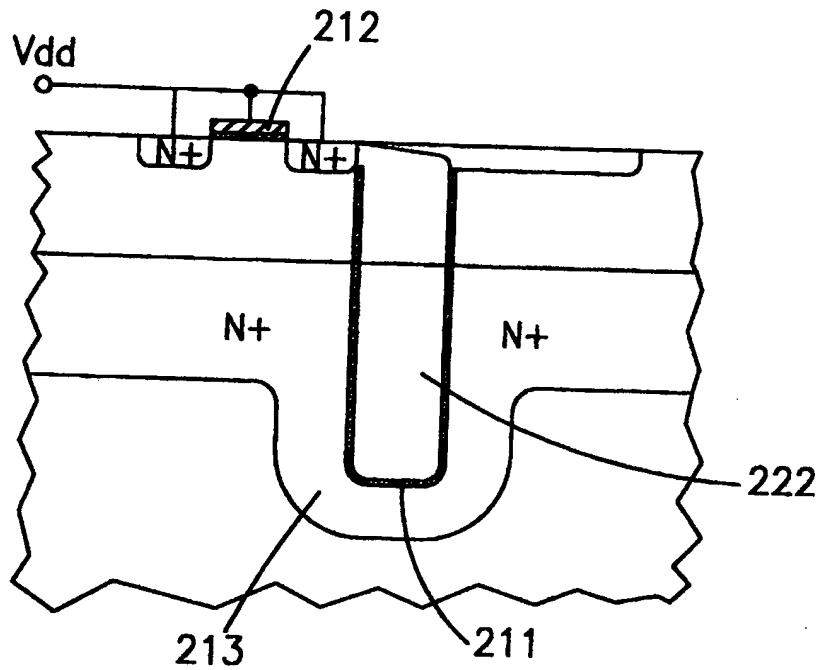


FIG. 2B
PRIOR ART



3/12
YOR9-1999-0420

FIG.3A

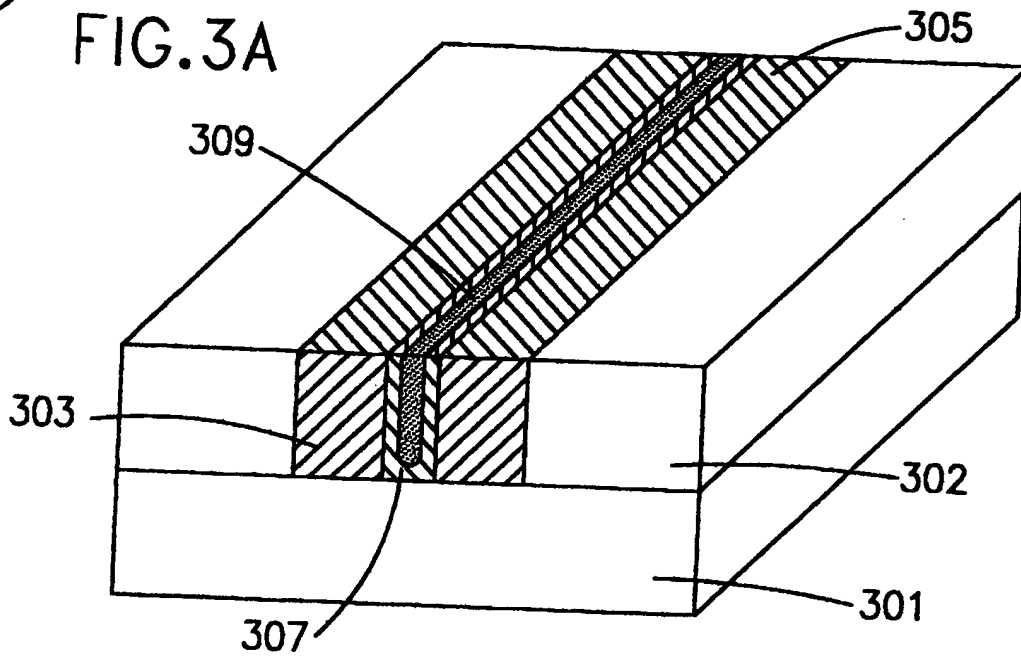


FIG.3B

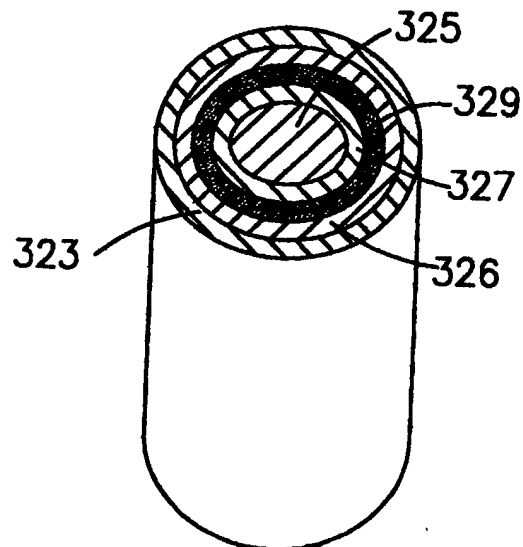
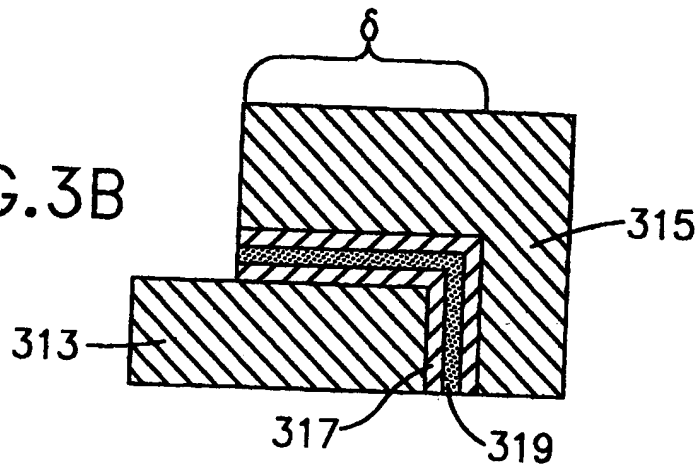


FIG.3C



4/12
YOR9-1999-0420

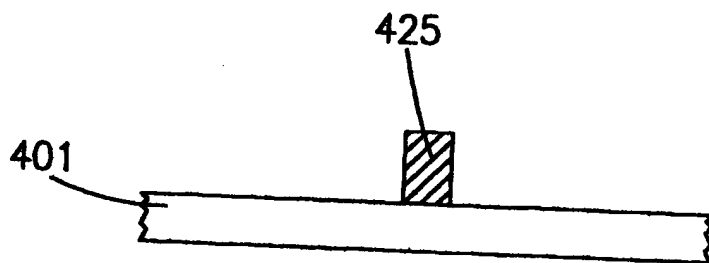


FIG. 4A

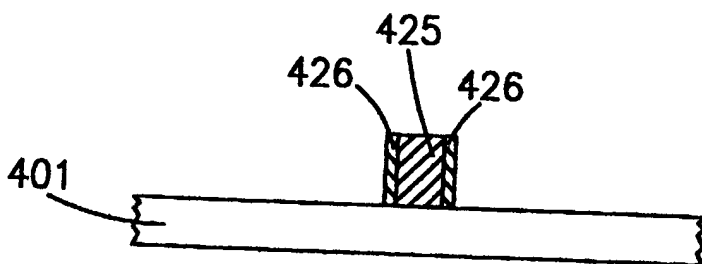


FIG. 4B

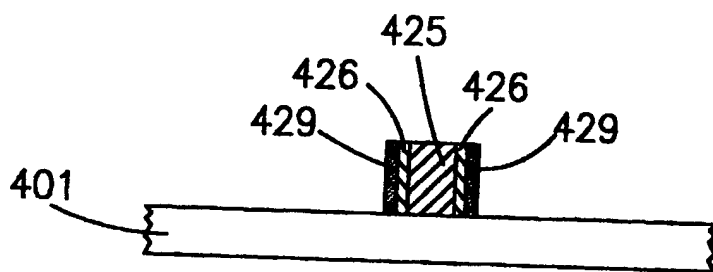


FIG. 4C

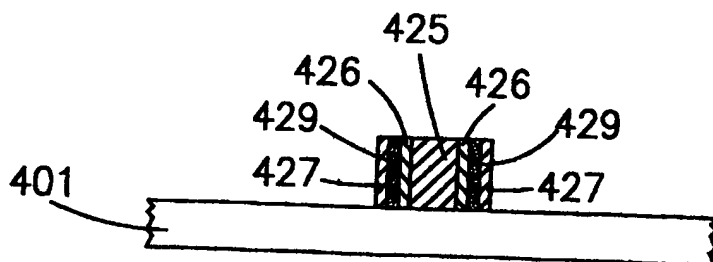


FIG. 4D

5/12
 YOR9-1999-0420

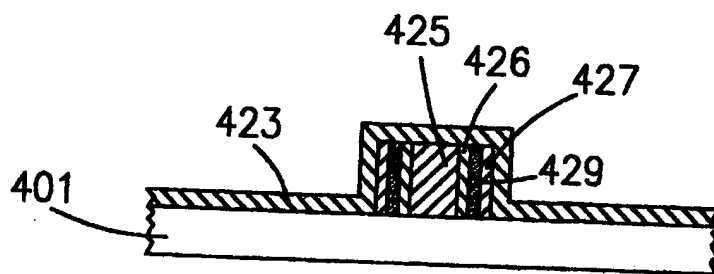


FIG. 4E

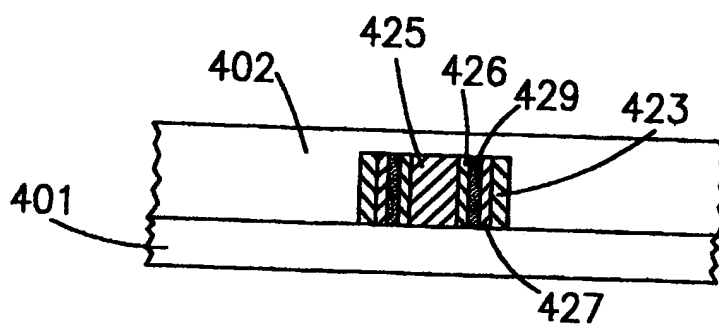


FIG. 4F

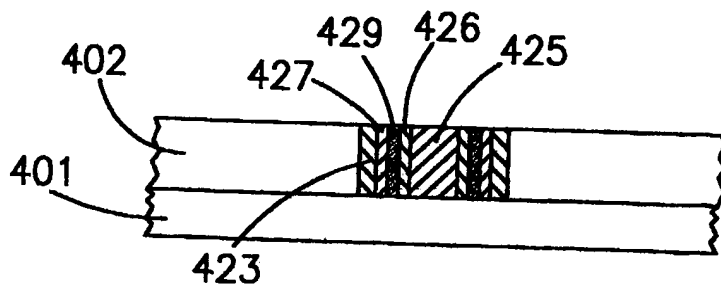


FIG. 4G



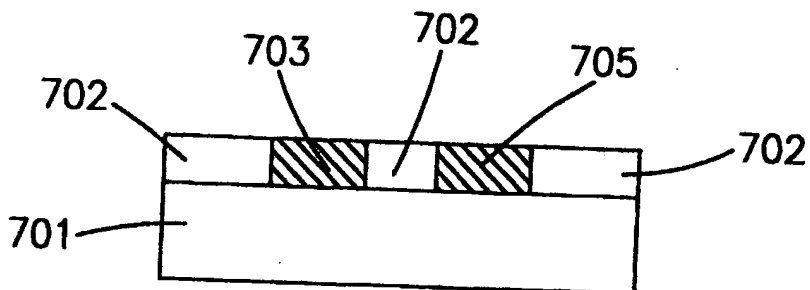


FIG. 7A

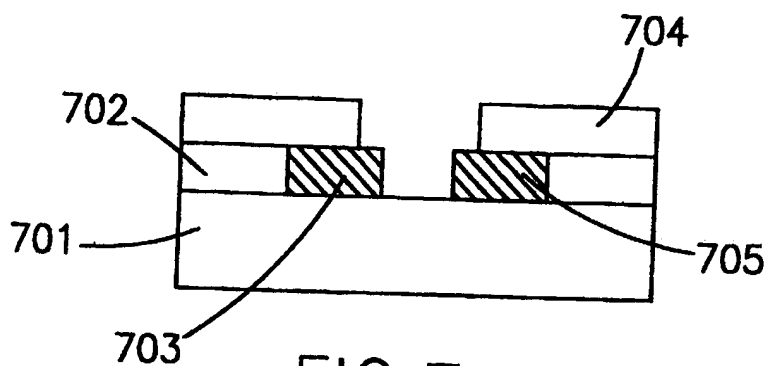


FIG. 7B

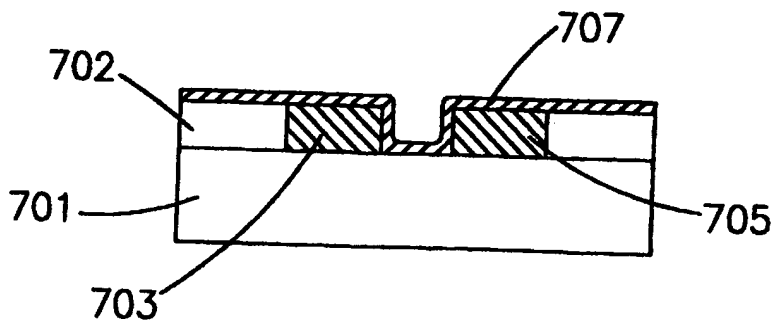


FIG. 7C



8/12
YOR9-1999-0420

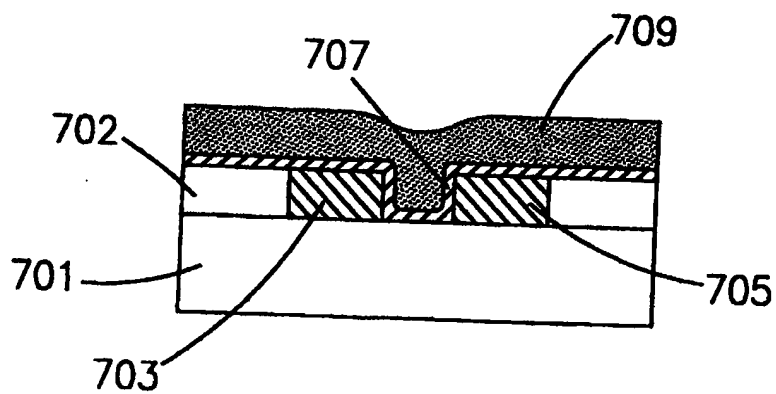


FIG. 7D

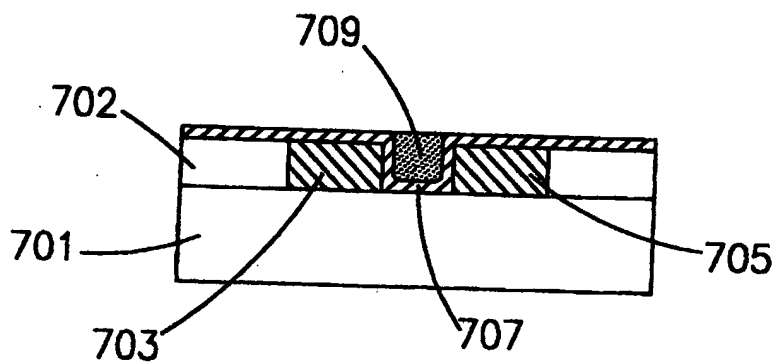


FIG. 7E

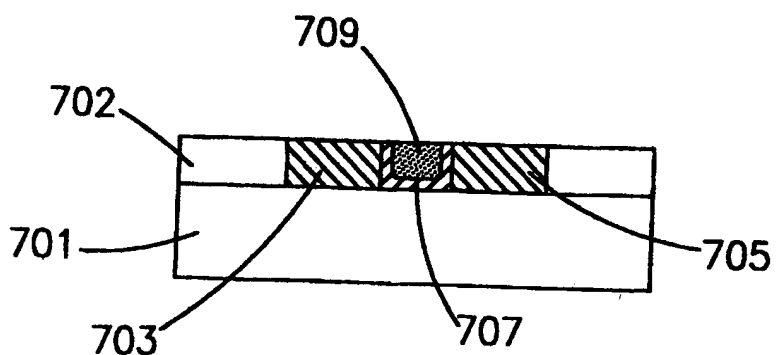


FIG. 7F

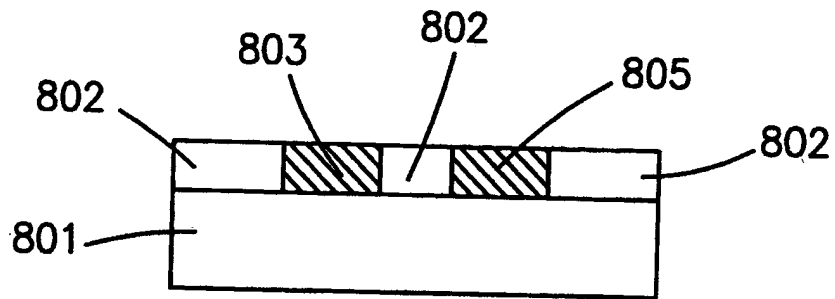


FIG. 8A

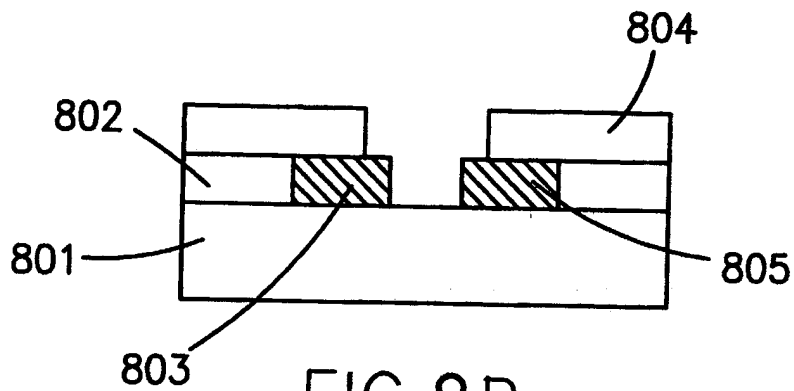


FIG. 8B

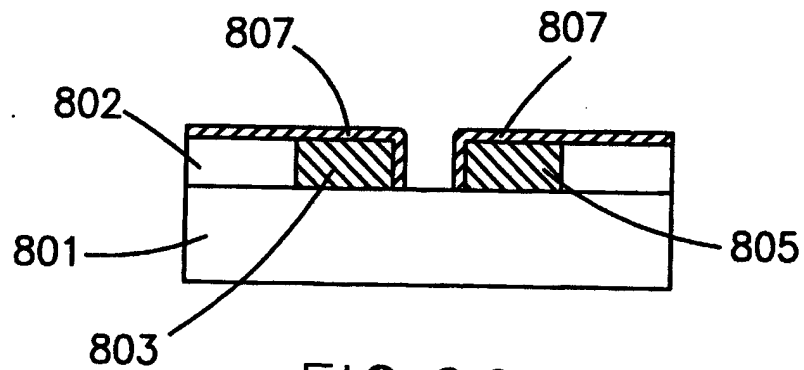


FIG. 8C

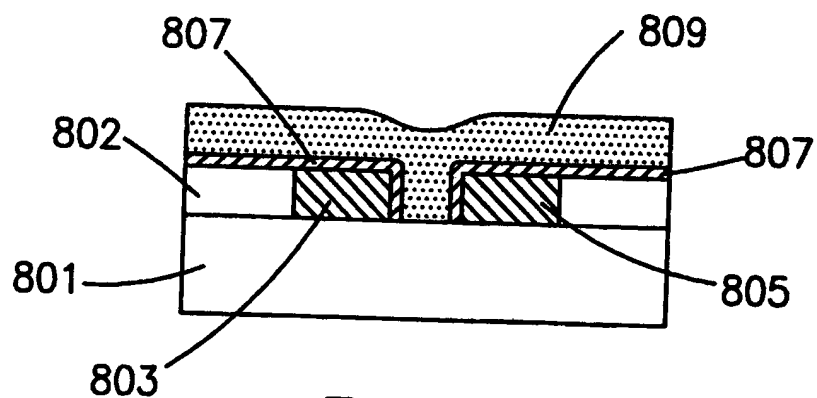


FIG. 8D

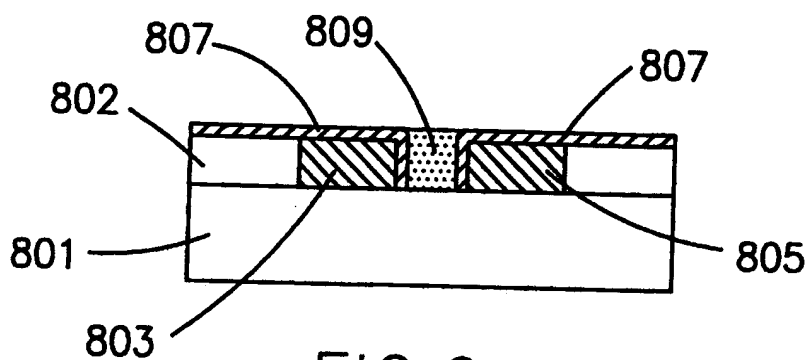


FIG. 8E

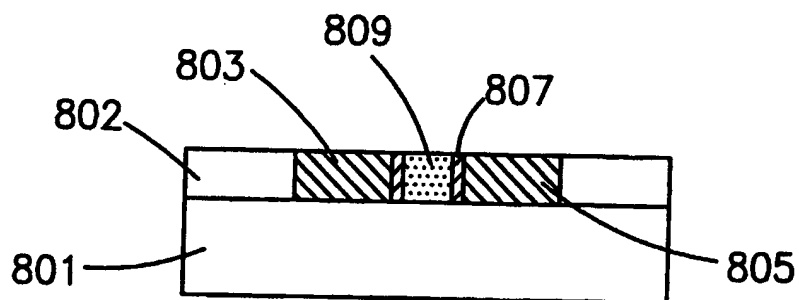


FIG. 8F

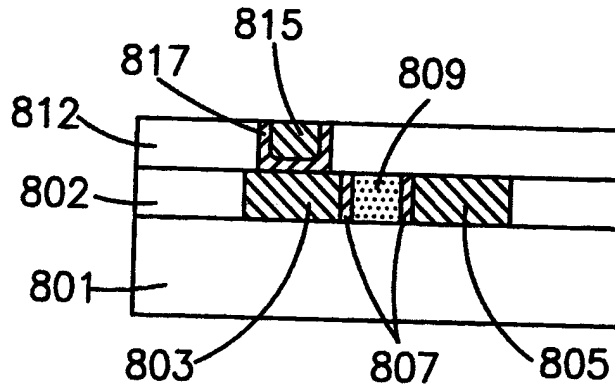


FIG. 8G

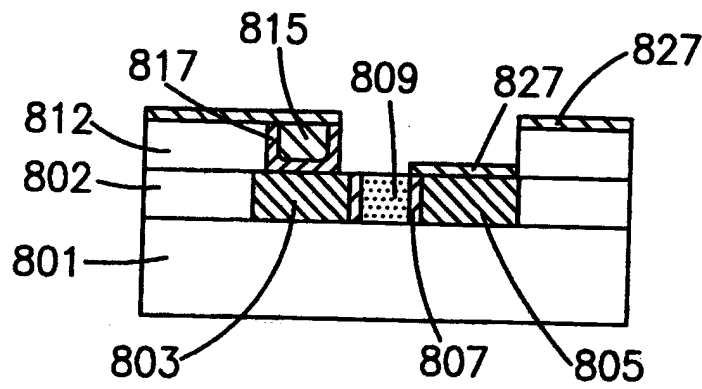


FIG. 8H

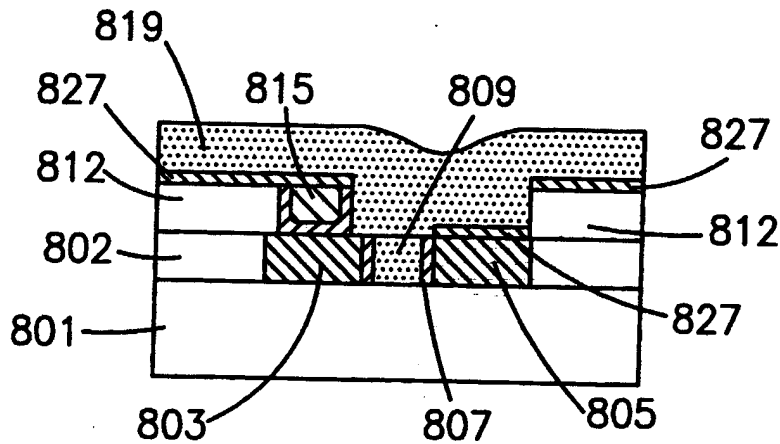


FIG. 8I

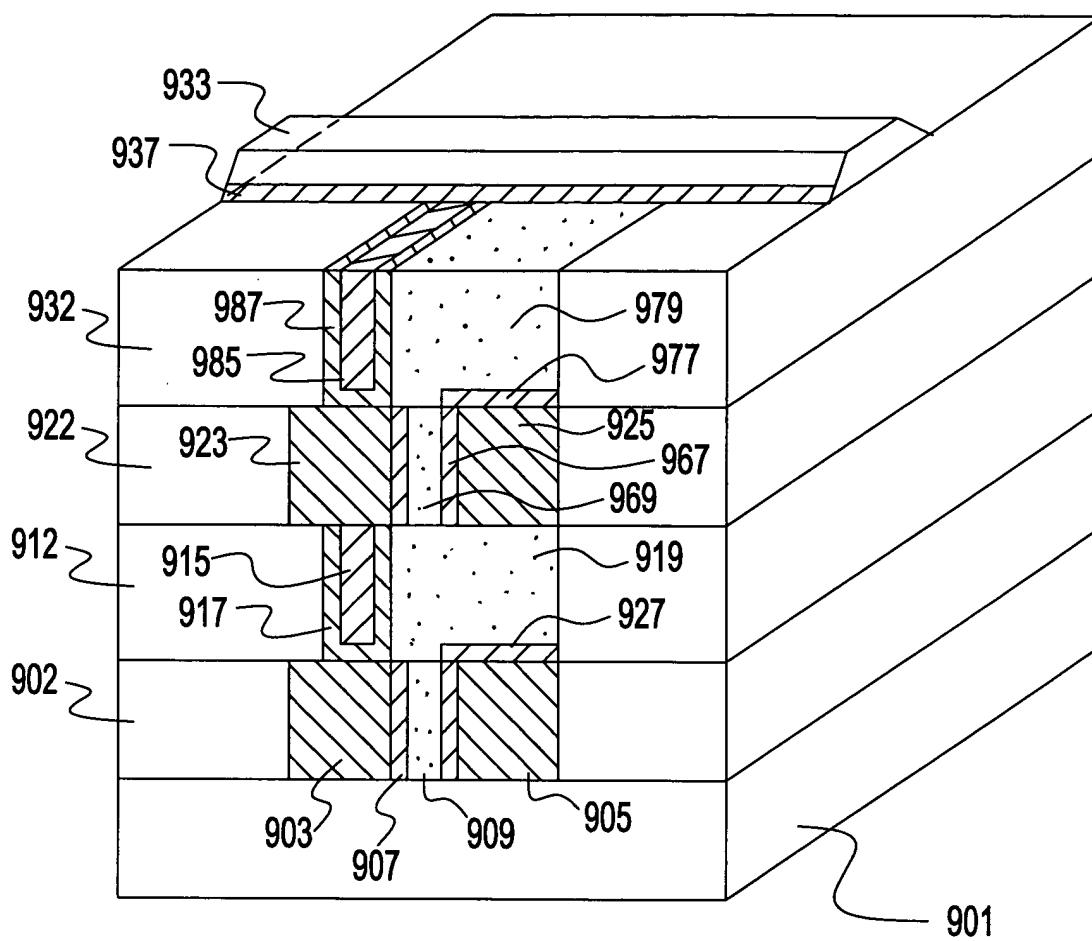


FIG.9